

表-1 実験条件 (V: 作用電圧, d: 水深, D: 円柱径, $m_e/\rho D^2$: Mass Ratio)

Case	V (V)	d (cm)	D (cm)	f_{nw} (Hz)	f_w (Hz)	f_w/f_{nw}	CKC	d/L	h_{tw}		$m_e/\rho D^2$
1-A-a	0	40	2	1.23	0.69~0.64	0.48~0.52	12	0.132~0.145	0.0042	振動円柱	50.0
1-A-b	100	40	2	1.23	"	"	"	"	0.01	"	50.0
1-B-a	0	40	2	1.23	0.615	0.50	5~30	0.136	0.0042	振動円柱	50.0
1-B-b	100	40	2	1.23	"	"	"	"	0.01	"	50.0
1-C	0~100	40	2	1.23	0.615	0.50	12	0.136	0.0042~0.01	振動円柱	50.0
1-S		40	2		0.615	0.50	3~28	0.136		静止円柱	50.0
2-A-a	0	50	2	1.63	0.78~0.85	0.48~0.52	12	0.224~0.25	0.0044	振動円柱	31.3
2-A-b	100	50	2	1.63	"	"	"	"	0.009	"	31.3
2-B-a	0	50	2	1.63	0.815	0.50	3~25	0.238	0.0044	振動円柱	31.3
2-B-b	100	50	2	1.63	"	"	"	"	0.009	"	31.3
2-C	0~100	50	2	1.63	0.815	0.50	12	0.238	0.005~0.01	振動円柱	31.3
2-S		50	2		0.815	0.50	3~25	0.238		静止円柱	
3		40	3	1.22	0.610	0.50	11	0.136	0.03	局所波力	10.5

Hz の場合である。Case 1-A-a, 1-A-b は、電磁減衰器への作用電圧 V をそれぞれ 0 V, 100 V に固定し、渦励振動の周波数比 f_w/f_{nw} (f_w = 作用波周波数) に対する変化特性におよぼす減衰定数 h_{tw} (h_{tw} : 静水中における減衰定数) の影響を調べたものである。この場合、静水表面位置における Keulegan-Carpenter 数 (CKC) は約 12 に固定されている。Case 1-B-a, 1-B-b は共振時における渦励振動の CKC に対する変化特性におよぼす減衰定数 h_{tw} の影響を調べたものである。この場合、作用波周波数 f_w は共振作用波周波数 ($f_w/f_{nw}=1/2$) に固定されている。水深波長比 d/L (L : 波の波長) は約 0.14 である。Case 1-C は、 $f_w/f_{nw}=1/2$, CKC=12 の場合における共振時渦励振動特性におよぼす h_{tw} の影響を調べたものである。Case 1-S は、バネ定数が非常に大きな引っ張りバネを用いて、上記試験円柱を静的に設置した場合 (静止円柱) の作用揚力特性を、Case 1-C と同様な作用波条件下で調べたものである。

Case 2 シリーズでは、水深 d 、および静水中固有振動数 f_{nw} を変化させ、Case 1 シリーズ同様な実験を行った。この場合、水深波長比 d/L は約 0.24 である。

Case 3 は、波と円柱振動との相互作用効果をより明確に評価することを目的として、外径 $D=3\text{cm}$ のアクリル製円柱の部分長に作用する局所波力 (波進行方向局所波力 ΔFX , 局所揚力 ΔFL) の測定を、円柱が共振状態で渦励振動している場合と、静止円柱の場合についてそれぞれ行ったものである。

上記各ケースの実験に先だち、円柱体の減衰自由振動実験をそれぞれの静水水深 d で行い、静水中における固有振動数 f_{nw} および減衰定数 h_{tw} を調べた。

3. 試験円柱の振動モデル

試験円柱振動モデルの座標系を図-2 に示す。円柱体

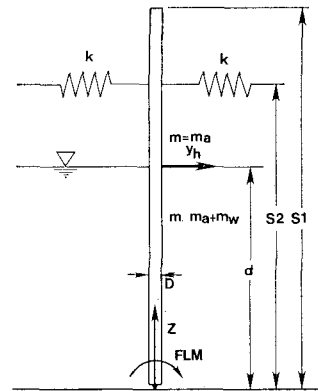


図-3 振動モデル座標系

下部のピボット点におけるモーメントの釣合を考慮すると円柱体の振動方程式は(1)式で与えられる。

$$M_{mi} \cdot \ddot{y}_n + C_{mi} \cdot \dot{y}_n + K_{mi} \cdot y_n = FLM \quad \dots\dots (1)$$

ここに、 y_n : 静水面における円柱体の揚力方向振動量

$$(\dot{y}_n = dy_n/dt, \quad \ddot{y}_n = d^2y_n/dt^2)$$

$M_{mi} \cdot \ddot{y}_n$ は、円柱体の振動に伴い生じる慣性力によるピボット点回りの曲げモーメントであり、(2)式で示される (作用波による水位変化 η の影響を無視)。

$$M_{mi} \cdot \ddot{y}_n = \int_0^d (m_a + m_w) \cdot (z^2/d) \cdot dz \cdot \ddot{y}_n + \int_d^{S1} m_a \cdot (z^2/d) \cdot dz \cdot \ddot{y}_n \quad \dots\dots (2)$$

ここに、 m_a : 円柱体の単位長さ当りの質量

m_w : 円柱体の単位長さ当りの水中付加質量

$C_{mi} \cdot \dot{y}_n$ は、円柱体に作用する減衰力によるピボット点回りの曲げモーメントである (C_{mi} : 換算減衰係数)。

$K_{mi} \cdot y_n$ は、引っ張りバネからの復元力、円柱体の自重、ならびに円柱体に作用する浮力によるピボット点回りの曲げモーメントである。自重および浮力による曲げ

モーメントは、試験円柱が鉛直な状態から振動変位した場合に考慮する必要がある。FLM は、作用揚力によるピボット点回りの曲げモーメントである。

波の水位変化による時間変動を無視した M_{mt} , C_{mt} , K_{mt} (例えば (2) 式を参照) を (1) 式に代入すると、次式の線型振動方程式が得られる。

$$\ddot{y}_n + 2 \cdot h_{tw} \cdot \omega_n \cdot \dot{y}_n + \omega_n^2 \cdot y_n = FLM / M_{mt} \quad \dots (3)$$

ここに、

$$\omega_n = 2\pi \cdot f_{nw} = (K_{mt} / M_{mt})^{1/2} \quad \dots (4)$$

$$h_{tw} = C_{mt} / (2 \cdot \omega_n \cdot M_{mt}) \quad \dots (5)$$

作用揚力モーメント FLM の時間変動をフーリエ級数近似し、作用波周波数 f_w の n 倍周波数成分の大きさを $FLM(n)$ とすると、 $FLM(n)$ に対する円柱体の応答振動振幅 (半振幅量) Y_{hn} は (4) 式で与えられる。

$$Y_{hn} = \frac{FLM(n) / K_{mt}}{\sqrt{(1 - (f_{Ln} / f_{nw})^2)^2 + (2h_{tw} f_{Ln} / f_{nw})^2}} \quad \dots (6)$$

ここに、 $n = f_{Ln} / f_w$, $n = 1, 2, 3, \dots$

f_{Ln} : n 倍揚力周波数, f_w : 作用波周波数

また、共振時 ($f_{Ln} = f_{nw}$) における Y_h / D の値は、(7) 式で与えられる。

$$Y_{hn} = FLM(n) / K_{mt} / (2 \cdot h_{tw}) \quad \dots (7)$$

4. 実験結果および考察

4.1 静止円柱に作用する揚力

Case 1-S および Case 2-S の実験で得られた、静止円柱に作用する揚力モーメント FLM の 2 倍周波数成分 FLM (2) と 3 倍周波数成分 FLM (3) の、CKC 数に対する変化特性を 図-4 A), B) にそれぞれ示す。水深波長比 d/L が約 0.14 である Case 1-S の場合、 $6 < CKC < 16$ の範囲では $CLM(2) > CLM(3)$, $16 < CKC$ では $CLM(2) < CLM(3)$ である。この KC 数に対する変化特性は、ほぼ同じ水深波長比での揚力係数に関する Isaacson ら (1976) の実験結果と同様である。一方、 $d/L = 0.24$ である Case 2-S の場合では、上記の場合や一様振動流における従来の結果とは異なり、 $8 < CKC < 24$ の広範囲において $FLM(2) > FLM(3)$ である。本結果は、円柱下部点に作用する揚力モーメントであることや、KC 数として CKC 数を用いていること等に対する検討を必要とするが、波動場中の直円柱に作用する揚力の水深方向変化特性を示す興味深い結果である。

4.2 渦励振動特性および波との相互作用

(a) 減衰定数静

静水中での自由振動実験で得られた円柱体の減衰振動記録より、静水面位置における円柱体の減衰する各振幅量 Y_h に対応する減衰定数 h_{tw} を対数減衰法を用いて

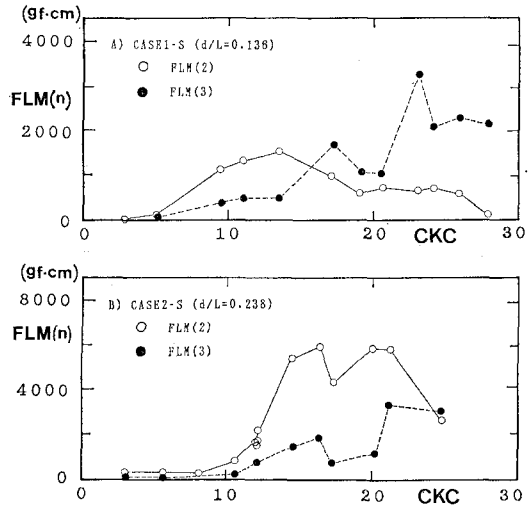


図-4 静止円柱に作用する揚力モーメント

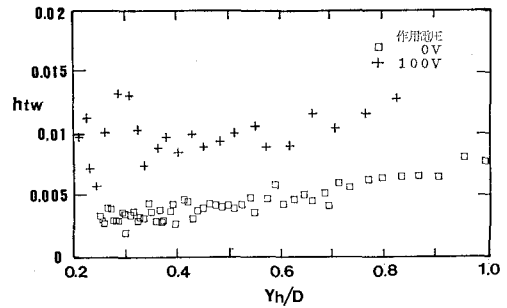
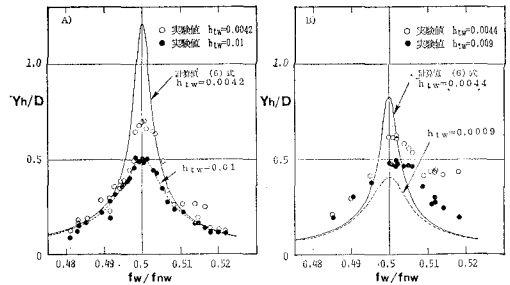


図-5 減衰定数 h_{tw} と Y_h/D の関係 (CASE 1 の 1 例)



A) Case 1-A ($d/L \approx 0.14$) B) Case 2-A ($d/L \approx 0.24$)

図-6 振動変位 Y_h/D と周波数比 f_w/f_{nw} の関係

算定した。Case 1 の実験で得られた h_{tw} と Y_h/D との関係を図-5 に示す (電磁減衰器への作用電圧 $V=0$ V, および $V=100$ V の場合のみ)。図より、電圧 $V=100$ V を作用させた結果 h_{tw} は 2 倍程増加していること、および Y_h/D の増加に伴い h_{tw} が増加していることがわかる。後者の現象は、 Y_h/D の増加に伴い発生する円柱後流渦による圧力抵抗 (=円柱振動速度の 2 乗に比

例)によるものと思われる(林,1986).
 このようにして得られた各測定ケース
 における htw の代表値を表-1 に示し
 ている.

(b) 周波数応答特性

図-6 は, Case 1-A と Case 2-A の
 実験で得られた応答振動量 Y_h/D と周
 波数比 f_w/f_{nw} の関係を減衰定数 htw
 をパラメーターとして示したものであ
 る. 図中, A) は d/L =約 0.14 の場
 合である. B) は d/L =約 0.24 の場
 合である. 両ケースとも CKC 数は約
 12 に固定されている. 図中の計算値
 は, 同様な波が静止円柱に作用した場
 合の作用揚力モーメントの2倍周波数
 成分 FLM (2) と, 応答振動量 Y_h/D
 の実測値に対応する静水中における減
 衰定数 htw を (6) 式に代入して得られたものである.
 例えば, Case 1-A の $htw=0.0042$ の場合, FLM (2) =
 1300 gf·cm (図-4-a 参照), $htw=0.0042$ (図-5, $V=0$
 V, 参照). このようにして htw を選んだ理由は, 円柱
 の振動速度の2乗に比例する非線型な減衰項(樫木ら,
 1976)を(3)式の線型振動方程式中で考慮するためである.
 共振時においては, 円柱振動と波との相互作用により
 作用揚力が増大する結果, 実測値は計算値より大き
 なるものと予想されていたが, そのような結果は Case
 2-A の $htw=0.009$ の場合において若干認められるのみ
 である. 両ケースとも減衰定数が小さい場合 ($htw=$
 0.0042), 共振点付近 ($f_w/f_{nw}=0.5$) において計算値
 は実験値よりかなり大きくなっている.

(c) 共振振動量と CKC の関係

作用揚力モーメントの2倍周波数成分 FLM (2) に円
 柱が共振している場合の共振振動量 Y_h/D と CKC の
 関係を水深波長比 d/L と作用電圧 V (=減衰定数) を
 パラメーターとして図-7a)—d) にそれぞれ示す. 図中
 に示されている計算値は, (7) 式に, 静止円柱に作用す
 る ELM (2), および表-2 に示す減衰定数 htw を代入
 したものである. 実験値 Y_h/D は, $d/L=0.136$ の場
 合は $6 < CKC < 20$ の範囲で, $d/L=0.238$ の場合は $8 <$
 CKC の広範囲それぞれで増加している. この特性に対
 する電圧(減衰定数)の影響は認められない. d/L 値に
 よるこの相違は, 静止円柱に作用する FLM (2) 特性と
 よく類似している(図-4, 参照).

次に, $d/L=0.136$ の場合は約 $6 < CKC < 10$ の範囲
 で, $d/L=0.238$ の場合は約 $4 < CKC < 12$ の範囲で,
 実験値は計算値よりも大きくなっている. このことは,
 直円柱が作用揚力の2倍周波数成分と共振している場

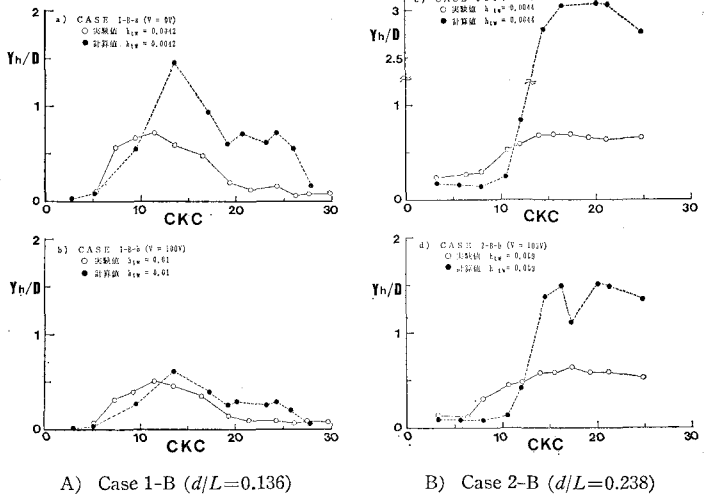


図-7 振動変位 Y_h/D と CKC の関係

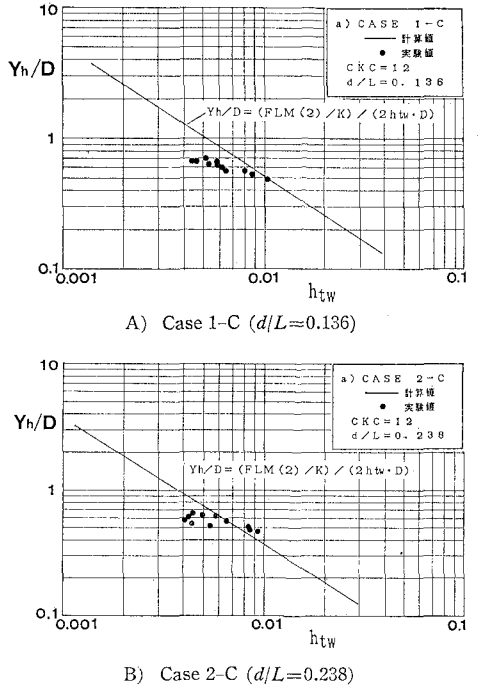


図-8 振動変位 Y_h/D と減衰定数 htw の関係

合, 波と振動円柱との相互作用による作用揚力の増加は,
 d/L 値による差はあるものの約 $6 < CKC < 10$ の範囲
 で起こることを示している. この理由としては, $CKC <$
 10 の範囲ではまだ不安定な静止円柱からの円柱後流渦
 の円柱軸方向相関性が, 円柱の振動ともない増加したた
 め考えられる. 一方, CKC が大きく(=約14)なると計
 算値は実験値よりも著者に大きくなっている(Case 1-
 B-bを除いて). これは, CKC の増加にともない無視で

きなくなる作用揚力モーメントの3倍周波数成分 CLM (3) を計算値には考慮していないためと考えられる。

(d) 共振振動量と減衰定数との関係

図-8 は、 $f_w/f_{nw}=1/2$, $CKC=12$ の場合における、 Y_h/D と減衰定数 hw との関係を示したものである。 hw は、静水中での自由振動実験により得られた電磁減衰器への各作用電圧 V に対する hw と Y_h/D の関係結果(図-5 参照) より求めた値である。図中に示されている計算値は、(7)式に静止円柱に作用する FLM (2) を代入して得られたものである。図中、A) は $d/L=0.136$ の場合、B) は $d/L=0.238$ の場合である。相互作用効果が無ければ、実験値は計算値で示されるように、減衰定数 hw の -1 乗に比例するはずであるがそのような傾向はどちらのケースにおいても認められない。これは、振動する円柱に作用する揚力は、円柱振動量の関数として変化すること(波と円柱振動との相互作用効果)を示している。また、 Y_h/D が約 0.5 より小さくなると実験値は計算値より大きくなるようである。

4.3 局所波力

図-9 は、 $CKC=11$, $d/L=0.136$ の場合 (Case 3) における共振時と静止時の円柱に作用する局所波力の測定例を作用波の水位変化 η と一緒にそれぞれ示したものである。局所波力測定点での KC 数は 8.9 である。この図より、共振時においては、進行波方向の局所波力 ΔFX は著しく増加しているが、揚力の局所波力 ΔFL の増加は少ないことが分かる。 ΔFL の値には、円柱振動による部分円柱の慣性力および付加質量力が含まれている。静水中での自由振動実験結果より推定されるこれらの力を取り除いたものを ΔFLV とし、その時間変化例を静止円柱時に作用する局所波力 ΔFLS と一緒に図-10 に示す。 ΔFLV は静止円柱に作用する局所揚力 ΔFLS より小さい。これは、Case 1, Case 2 において得られた“共振時に作用する揚力は必ずしも増幅されるわけではない”という興味深い現象と同じである。

5. おわりに

以上は、波動場で渦励振動している直円柱と波との相互作用について検討したものである。解析に用いた、振動方程式、減衰定数、ならびに作用揚力の評価法等に対する詳細な検討を要するが、主要な結果として以下の2点が挙げられる。

1) 直円柱が作用揚力の2倍周波数成分と共振している場合、円柱振動と波の相互作用の結果、作用揚力が増加する KC 数の領域は、静止円柱に作用する揚力の2倍周波数成分が卓越する KC 数の全領域ではなく、一部の範

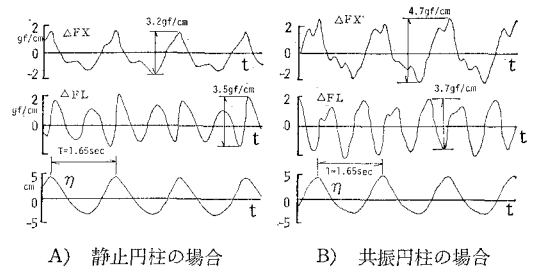


図-9 局所波力の時間変化例 (Case-3)

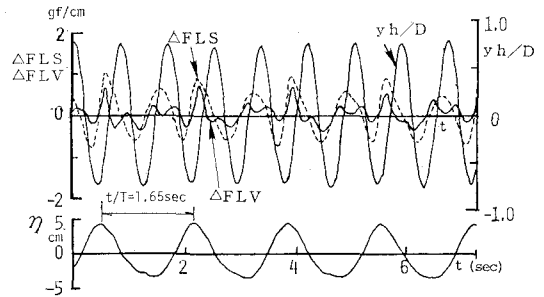


図-10 ΔFLS と ΔFLV の比較

囲 ($6 < CKC < 10$) のみである。

2) 共振時における円柱振動量は、波と円柱振動との相互作用効果の結果、減衰定数の -1 乗に比例しない。

最後に、図面の作成にご協力頂いた防衛大学校土木工学教室の白浜和樹技官に深く感謝致します。

参考文献

- 樺木 亨・中村孝幸・三木秀樹 (1976): 波動場の円柱後流渦による振動応答の実態とその予測について, 第 23 回海岸工学講演会論文集, pp. 33~38.
- 林 建二郎・J. R. Chaplin (1985): 波動場で渦励振動している直円柱に作用する揚力評価について, 第 33 回海岸工学講演会論文集, pp. 511~515.
- 林 建二郎 (1986): 水中における円柱に作用する流体減衰力について, 第 11 回海洋開発シンポジウム論文集, pp. 103~108.
- Blevins, R. D. (1977): Flow-induced vibration, Van Nostrand Reinhold, 363 p.
- Isaacson, M. S. and D. J. Maull (1976): Transverse forces on vertical cylinder in waves, Journal of Waterways, Harbors and Coastal Engineering Division, ASCE, Vol. 102, WW1, pp. 49~60.
- Ramberg, S. E. and O. M. Griffin (1976): Velocity correlation and vortex spacing in the wake of a vibrating cable, Journal of Fluid Engineering, March, pp. 10~18.
- Toebes, G. H. (1969): The unsteady flow and wake near an oscillating cylinder, Journal of Basic Engineering, September, pp. 493~505.